

## ФИЗИКА КОНДЕНСИРОВАННОГО СОСТОЯНИЯ ВЕЩЕСТВА

УДК 535.37:539.199:541.64

**ОПРЕДЕЛЕНИЕ АГРЕГАЦИОННОГО ЧИСЛА ГИДРОФОБНЫХ  
ДОМЕНОВ В МИКРОФАЗНО РАССЛОЕННОМ ГЕЛЕ  
ГИДРОФОБНО МОДИФИЦИРОВАННОЙ ПОЛИАКРИЛОВОЙ  
КИСЛОТЫ**

**В. А. Смирнов, А. В. Фоменков, А. С. Андреева, О. Е. Филиппова**

(кафедра физики полимеров и кристаллов)

E-mail: andreeva@polly.phys.msu.ru

**Исследована гидрофобная ассоциация в микрофазно расслоенном гидрогеле гидрофобно модифицированной полиакриловой кислоты методами малоуглового нейтронного рассеяния и флуоресцентной спектроскопии с использованием пирена в качестве зонда. Разработана методика определения агрегационных чисел гидрофобных доменов в слабо набухших полимерных гелях методом тушения флуоресценции. Показано, что введение заряженных звеньев в гель приводит к уменьшению агрегационного числа гидрофобных доменов из-за электростатического отталкивания одноименно заряженных звеньев на их поверхности.**

## Введение

В последнее время особый интерес вызывают полимеры,nanoструктуру которых можно изменять с помощью внешних воздействий. Такие «восприимчивые» nanoструктуры обычно характерны для полимерных систем с конкуренцией двух противодействующих тенденций — притяжения и отталкивания. Изменяя соотношение между этими конкурирующими тенденциями с помощью внешних факторов, можно варьировать как тип, так и период возникающей nanoструктуры.

Недавно восприимчивая nanoструктура была обнаружена в гелях гидрофобно модифицированной полиакриловой кислоты (ГМ ПАК) [1], содержащих как заряженные группы, ответственные за электростатическое отталкивание, так и гидрофобные *n*-алкильные группы, ответственные за ассоциацию. В водной среде гидрофобные группы, стремясь уменьшить энергетически невыгодный контакт с водой, агрегируют между собой с образованием гидрофобных доменов [2, 3]. Совокупность таких доменов, определенным образом расположенных в пространстве трехмерной сетки геля, формирует уникальную nanoструктуру геля. В работе [1] методом малоуглового рассеяния нейtronов (МУРН) было обнаружено, что при введении всего 2 мол.% заряженных групп в гель ГМ ПАК возникает микрофазное расслоение [4–6], сопровождающееся вторичной агрегацией гидрофобных доменов друг с другом с образованием кластеров. При этом, как было показано в работе [7] двумя независимыми методами ЯМР <sup>13</sup>C и УФ-спектроскопии, не происходит разрушения гидрофобных доменов, т.е.

все *n*-алкильные группы остаются агрегированными между собой. Однако при этом может происходить изменение числа гидрофобных *n*-алкильных групп, входящих в состав одного домена. Поэтому представляется важным определить агрегационное число гидрофобных доменов в микрофазно расслоенном геле и сравнить его с агрегационным числом доменов в исходном незаряженном геле. Это позволит охарактеризовать изменения nanoструктуры геля, происходящие в процессе микрофазного расслоения, вызванного введением заряженных групп.

Таким образом, целью настоящего исследования являлось определение агрегационного числа *n*-алкильных групп в микрофазно расслоенном химически смешанном геле ГМ ПАК.

## Экспериментальная часть

**Материалы.** В работе использовали акриловую кислоту (фирма-производитель Fluka, чистота > 99%), дополнитель но очищенную перегонкой непосредственно перед синтезом; *n*-додецилакрилат (Scientific Polymer Products); N,N'-диметилформамид (Lancaster); N,N'-метиленбисакриламид (Fluka, чистота > 99.5%); этанол (Fluka), дополнитель но очищенный перегонкой с отбором фракции с  $T_{boil} = 77.5\text{--}77.8^\circ\text{C}$ ; 1 М водный раствор NaOH (Fluka); пирен (Fluka, чистота > 97%), дополнитель но двукратно очищенный перекристаллизацией из этанола в воду; D<sub>2</sub>O (Fluka, 99.9% D).

Гель ГМ ПАК, содержащий 20 мол.% *n*-додецильных гидрофобных групп (рис. 1), синтезировали по методике, подробно описанной в работах [1, 7]. Состав синтезированных гелей был определен при помощи методов ЯМР <sup>1</sup>H и элементного

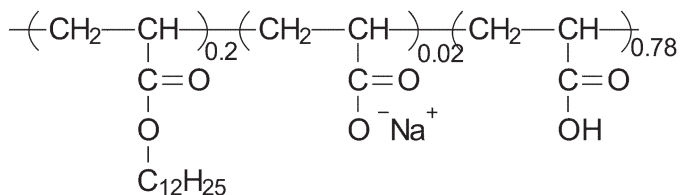


Рис. 1. Химическое строение геля гидрофобно модифицированной ПАК

анализа. Оказалось, что он практически совпадает с составом исходной смеси мономеров при синтезе. Распределение звеньев по цепи было охарактеризовано методом ЯМР  $^{13}\text{C}$ . Показано, что оно близко к статистическому.

Полученный гель многократно промывали в этаноле от непрореагировавших исходных реагентов и диметилформамида (ДМФА) в течение месяца. Очищенный, набухший в этаноле гель нарезали на куски и сушили в термостатируемом шкафу до постоянной массы. Масса высушенных образцов составляла приблизительно 0.028 г. К сухим образцам добавляли рассчитанное количество 1 М водного раствора  $\text{NaOH}$ , чтобы заданное количество звеньев геля (2 мол.%) перевести в солевую форму.

Образцы для УФ-спектроскопии и флуоресцентных измерений готовили следующим образом. К каждому из образцов высушенных гелей было добавлено по 0,2 мл раствора пирена ( $\text{Py}$ ) в этаноле определенной концентрации в диапазоне от  $4.4 \cdot 10^{-4}$  до 0.032 моль/л. Этанол удаляли высушиванием в течение трех суток в термостатируемом шкафу. После сушки добавляли рассчитанное количество воды, необходимое для достижения во всех образцах одинаковой степени набухания  $\alpha = 8$ , которую определяли по формуле

$$\alpha = \frac{m - m_0}{m_0},$$

где  $m$  и  $m_0$  — масса геля в набухшем и сухом состояниях соответственно. После добавления воды образцы были оставлены на несколько суток для равновесного распределения растворителя по всему объему геля.

**Методы.** Общую концентрацию пирена  $C_{\text{Py}}$  в образцах геля определяли спектрофотометрически по поглощению на длине волны 338 нм относительно базовой линии, используя предварительно измеренное нами значение коэффициента экстинкции  $\varepsilon = 17\,200 \text{ л} \cdot \text{моль}^{-1} \cdot \text{см}^{-1}$ . Измерения проводили в кварцевых кюветах с длиной оптического пути 0.2 см на спектрофотометре Hewlett-Packard 8452A.

Концентрацию гидрофобных доменов, содержащих одну молекулу пирена  $C_{\text{Py}(1)}$ , в геле определяли методом флуоресцентной спектроскопии. Спектры флуоресценции пирена измеряли на спектрофотометре Hitachi MPF-4. Длина волны возбуждения составляла 338 нм.

Для характеристикиnanoструктуры гелей использовали метод МУРН. Измерения выполняли на времязпролетном модернизированном спектрометре ЮМО, расположенному на четвертом канале высокопоточного [8] импульсного реактора ИБР-2 в Объединенном институте ядерных исследований (Дубна). При исследовании использовали двухдетекторную систему, поэтому диапазон значений волнового вектора  $Q$  составлял от 0.006 до  $0.5 \text{ \AA}^{-1}$ . Применили стандартные программы управления [9] и обработки [10] экспериментальных данных. Измерительные кюветы для образцов были изготовлены специально с учетом особенностей исследуемых объектов. Они представляли собой разборные дискообразные кюветы диаметром 2 см с алюминиевым каркасом и кварцевыми стеклами, зазор между которыми, заполненный образцом геля, составлял 2 мм. В качестве фонового образца использовали тяжелую воду. Кюветы помещали в кассетницу, находящуюся в термостатируемом боксе при  $20^\circ\text{C}$  с температурной стабилизацией до  $0.03^\circ\text{C}$ .

## Результаты и обсуждение

**Незаряженный гель.** Агрегационное число  $n$ -алкильных групп в незаряженном геле ГМ ПАК определяли из данных, полученных методом МУРН. На рис. 2, *a* представлена кривая малоуглового рассеяния нейтронов для незаряженного геля ГМ ПАК.

Видно, что на кривой рис. 2, *a* присутствует единственный пик («пик доменов») при значении волнового вектора  $q = 0.119 \text{ \AA}^{-1}$ , соответствующий периоду nanoструктуры  $d = 53 \text{ \AA}$ . Показано [1], что этот период характеризует среднее расстояние между гидрофобными доменами в геле. Набухание геля (т. е. уменьшение концентрации полимера в геле) приводит к сдвигу положения структурного пика в область малых углов, что свидетельствует о том, что гидрофобные домены становятся все дальше друг от друга. Увеличение характерного расстояния  $d$  при уменьшении концентрации полимера происходит в соответствии со степенным законом  $d \sim C_p^{-0.35}$ . Показатель степени, близкий к  $-1/3$ , свидетельствует о равномерном набухании гидрофильных цепей ПАК в геле ГМ ПАК во всех трех направлениях [11] и соответственно о равномерном распределении гидрофобных агрегатов в объеме геля.

Поскольку домены изотропно распределены в объеме геля, то их концентрация может быть вычислена из периода nanoструктуры  $d$  и характера распределения агрегатов в объеме геля в соответствии с выражением

$$C_d = n_d / (N_A \cdot a^3),$$

где  $N_A$  — число Авогадро,  $a^3$  — объем элементарной ячейки,  $n_d$  — количество гидрофобных доменов в одной элементарной ячейке. Характер распределения доменов в объеме данной системы неизвестен,

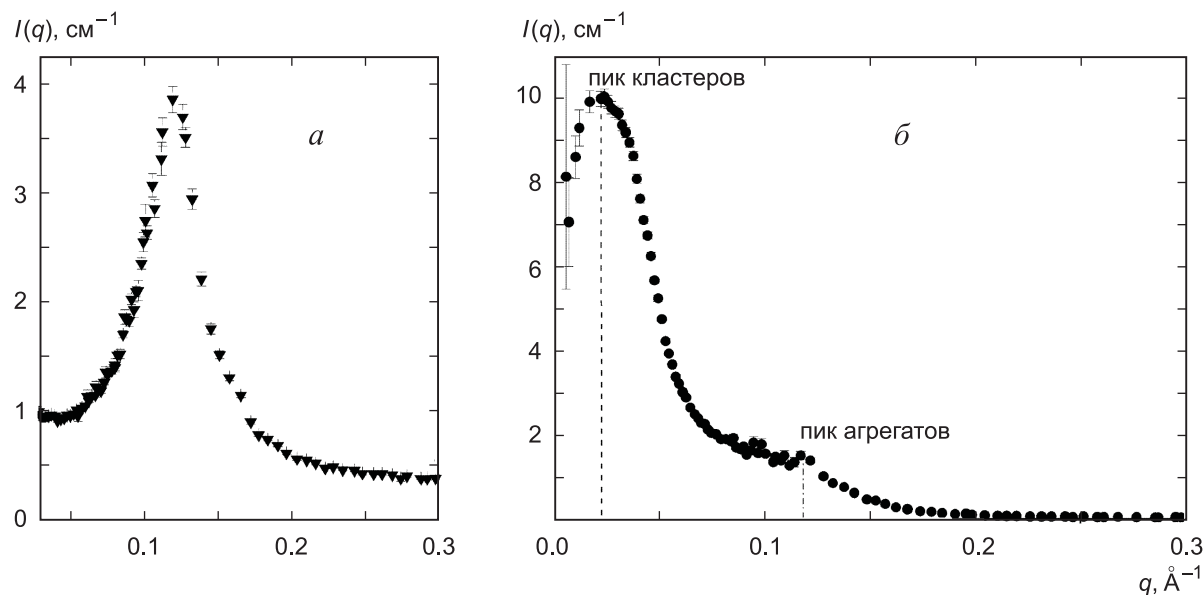


Рис. 2. Кривые малоуглового нейтронного рассеяния незаряженного (а) и слабозаряженного (б) гелей ГМ ПАК. Степень набухания гелей в  $D_2O$   $\alpha = 2$  (концентрация полимера в геле  $C_p = 33$  вес.%)

однако из литературных данных [12] следует, что для большинства аналогичных систем характерна более плотная упаковка — гранецентрированная кубическая решетка и гексагональная решетка с плотнейшей упаковкой. Для этих решеток на объем элементарной ячейки  $a^3 = (\sqrt{2d})^3$  приходятся четыре домена. Зная концентрацию доменов  $C_d$ , можно вычислить среднее значение агрегационного числа доменов  $N_d$  (т. е. число  $n$ -алкильных групп, входящих в состав одного гидрофобного домена). Оно равно отношению концентраций  $n$ -алкильных групп  $C_{alk}$  и гидрофобных доменов  $C_d$ :  $N_d = C_{alk}/C_d$ .

Рассчитанное таким образом агрегационное число оказалось приблизительно равным 80. Полученные значения агрегационных чисел доменов в незаряженном геле ГМ ПАК близки к значениям агрегационных чисел доменов в водных растворах незаряженных ГМ полимеров (например, в ГМ полиэтиленоксиде), содержащих такой же гидрофобный  $n$ -додецильный радикал [2].

Таким образом, методом МУРН определено агрегационное число гидрофобных доменов в незаряженном геле ГМ ПАК. Оно составляет 80.

**Заряженный гель.** Введение 2 мол.% заряженных звеньев в гель приводит к появлению интенсивного пика на малых углах при  $q = 0.029 \text{ \AA}^{-1}$  (рис. 2, б). В работе [1] показано, что этот пик вызван микрофазным расслоением в геле, в результате которого гидрофобные домены, изначально равномерно распределенные в набухшей в воде гидрофильной сетке геля в условиях отсутствия заряда, при зарядении геля, уплотняясь, агрегируют между собой с образованием надструктур — гидрофобных кластеров. Корреляции в распределении этих кластеров по объему геля и являются причиной воз-

никновения пика на малых углах («пик кластеров») на кривой нейтронного рассеяния заряженного геля.

В данном случае способ определения агрегационного числа по данным МУРН не может быть применен по двум причинам: 1) точное положение «пика доменов» почти полностью скрыто плечом интенсивного малоуглового пика кластеров; 2) структура микрофазно расслоенного геля неизотропна. Поэтому для определения агрегационного числа в заряженном геле был применен метод флуоресценции с использованием пирена в качестве гидрофобного зонда [13].

Ранее метод флуоресцентной спектроскопии с использованием пирена в качестве зонда применяли для определения агрегационных чисел гидрофобных доменов в растворах линейных ГМ полимеров [14–16]. Этот метод основан на том, что пирен плохо растворим в воде, и в водных растворах ГМ полимера он локализуется преимущественно внутри гидрофобных доменов [17]. Измерения проводятся при концентрации пирена  $C_{Py}$ , превышающей концентрацию гидрофобных доменов  $C_d$  ( $C_{Py} > C_d$ ). При этом в некоторые домены попадает по одной молекуле пирена, в другие домены — по две и более. Чем выше концентрация доменов в системе  $C_d$  (при данной концентрации пирена  $C_{Py}$ ), тем больше доля  $\rho_1$  доменов, содержащих одну молекулу пирена. Одиночные молекулы пирена имеют узкие полосы испускания в области 370–395 нм, а димеры пирена имеют широкую полосу испускания с максимумом на 480 нм [13].

При определении концентрации доменов  $C_d$  по флуоресценции мономеров пирена обычно используют распределение Пуассона [13]

$$\rho_i = \frac{\alpha^i}{i!} e^{-\alpha},$$

где  $\alpha_i = C_{\text{Py}}/C_d$ , а  $\rho_i$  — относительная доля агрегатов, содержащих  $i$  молекул пирена.

Для  $i = 1$  имеем

$$\rho_1 = \frac{C_{\text{Py}}}{C_d} e^{-C_{\text{Py}}/C_d}, \quad C_{d(1)} = C_{\text{Py}} e^{-C_{\text{Py}}/C_d},$$

$$\ln \left( \frac{C_{d(1)}}{C_{\text{Py}}} \right) = -\frac{C_{\text{Py}}}{C_d},$$

где  $C_{d(1)}$  — концентрация доменов, содержащих одну молекулу пирена, она равна концентрации мономеров пирена  $C_{\text{Py}(1)}$ .

Общую концентрацию пирена  $C_{\text{Py}}$  определяют спектрофотометрически по поглощению на длине волны 338 нм. Концентрацию доменов, содержащих одну молекулу пирена  $C_{d(1)}$ , определяют из спектра флуоресценции пирена. При этом обычно считают, что она пропорциональна интенсивности люминесценции мономера пирена, причем коэффициент пропорциональности не зависит от концентрации пирена.

Однако наши исследования проводились не с растворами полимера, для которых была разработана методика, а со слабо набухшими полимерными гелями, в которых концентрация полимера (и соответственно концентрация доменов) была очень высокой. В эксперименте необходимо варьировать концентрацию пирена  $C_{\text{Py}}$  при постоянной интенсивности падающего на кювету света. При этом при больших оптических толщинах кюветы ( $D \approx 1$ ) интенсивность люминесценции мономеров пирена уже не будет расти пропорционально концентрации мономеров пирена  $C_{\text{Py}(1)}$ . Например, при значительной оптической плотности (когда поглощается почти весь падающий свет) интенсивность люминесценции мономеров пирена  $I_{\text{lum}(1)}$  уже практически не будет изменяться при дальнейшем росте общей концентрации пирена  $C_{\text{Py}}$ , в то время как концентрация мономеров пирена  $C_{\text{Py}(1)}$  при этом будет возрастать (при  $C_{\text{Py}} < C_d$ ). Поэтому при измерениях мы решили отойти от традиционного подхода, предполагающего, что количество поглощенной образцом энергии пропорционально концентрации пирена, и предложили новый метод, в котором более точно учитывается количество энергий, поглощенной образцом. Суть его состоит в следующем.

Пусть оптическая плотность образцов  $D$  не является малой, например  $D \approx 1$ . Связем интенсивность люминесценции мономеров пирена в таком образце с концентрацией в нем доменов, содержащих одну молекулу пирена. Общая поглощенная энергия в образце

$$I_{\text{abs}} = I_0 (1 - e^{-D}).$$

Из этой общей энергии на долю мономеров пирена, очевидно, приходится

$$I_{\text{abs}(1)} = I_0 (1 - e^{-D}) \frac{C_{\text{Py}(1)}}{C_{\text{Py}}}.$$

Измеряемая экспериментально интенсивность люминесценции мономеров равна

$$I_{\text{lum}(1)} = k (1 - e^{-D}) \frac{C_{\text{Py}(1)}}{C_{\text{Py}}},$$

где  $k$  — некоторый коэффициент.

Таким образом,  $C_{\text{Py}(1)} \approx I_{\text{lum}(1)} C_{\text{Py}} / (1 - e^{-D})$ . Разделив это выражение на  $C_{\text{Py}}$ , получим

$$\frac{I_{\text{lum}(1)} C_{\text{Py}}}{(1 - e^{-D}) C_{\text{Py}}} = k e^{C_{\text{Py}}/C_d},$$

или

$$\ln \left( \frac{I_{\text{lum}(1)}}{1 - e^{-D}} \right) = \ln k - \frac{C_{\text{Py}}}{C_d}.$$

Используя предложенную нами методику, можно проводить измерения, пользуясь достаточно толстыми кюветами и получая при этом хорошую интенсивность люминесценции. Ясно, что в этих измерениях  $D$  должно быть таким, чтобы  $e^{-D}$  было ненамного меньше единицы, так как в противном случае точность метода резко падает. Реально величина  $D$  должна быть сравнима с единицей.

На основании экспериментальных данных строится график  $I_{\text{lum}(1)} / (1 - e^{-D})$  как функция от общей концентрации пирена  $C_{\text{Py}}$  (оптическая плотность  $D$  зависит от  $C_{\text{Py}}$ ). Котангенс угла наклона полученной прямой и будет равен концентрации доменов  $C_d$ . Зная концентрацию доменов  $C_d$  и концентрацию гидрофобных групп  $C_{\text{alk}}$  в геле, а также то, что все гидрофобные группы геля в данных условиях включены в агрегаты [7], можно определить агрегационное число гидрофобных доменов  $N_d$  по формуле:  $N_d = C_{\text{alk}} / C_d$ .

С использованием разработанной методики нами было определено агрегационное число гидрофобных доменов в микрофазно расслоенном геле ГМ ПАК. На рис. 3 представлена экспериментально полученная зависимость величины  $I_{\text{lum}(1)} / (1 - e^{-D})$  от общей концентрации пирена в геле  $C_{\text{Py}}$ . Из этой зависимости была определена концентрация доменов  $C_d$  (котангенс угла наклона прямой), которая оказалась

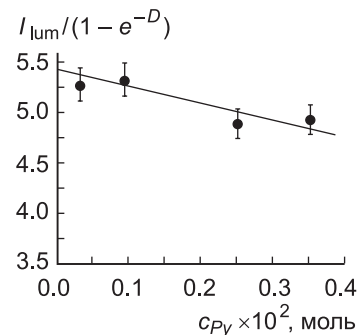


Рис. 3. Зависимость интенсивности люминесценции пирена от его концентрации в микрофазно расслоенном геле ГМ ПАК, содержащем 2 мол.% заряженных звеньев

равной  $6 \cdot 10^{-3}$  моль/л. Сравним полученную величину с общей концентрацией гидрофобных групп  $C_{\text{alk}}$  в геле. Из степени набухания геля получаем концентрацию полимера в геле

$$c_0 = \frac{10^3}{\alpha M_0} = 1.184 \text{ моль/л},$$

где  $M_0$  — средняя молярная масса геля, равная 105.6 г/моль,  $\alpha$  — степень набухания геля, равная 8.

Из химического строения геля следует, что концентрация гидрофобных групп в геле составляет 20 мол.% от концентрации полимера, т.е.  $C_{\text{alk}} = 0.2 c_0 = 0.237$  моль/л.

Агрегационное число  $n$ -алкильных групп, входящих в состав одного гидрофобного домена,  $N_d = C_{\text{alk}}/C_d = 0.237/(6 \cdot 10^{-3}) = 39.5$ .

Таким образом, расчеты показали, что в одном домене сосредоточено около 40 гидрофобных заместителей. Аналогичные значения агрегационного числа гидрофобных доменов получены для водных растворов слабозаряженных линейных ГМ полимеров — ГМ ПАК [14] и ГМ-сополимера акриламида и акрилата натрия [15, 16].

Таким образом, показано, что в процессе микрофазного расслоения, вызванного введением заряженных групп в гель, уменьшается агрегационное число гидрофобных доменов. По-видимому, это связано с увеличением электростатического отталкивания на их поверхности.

Работа выполнена при финансовой поддержке гранта Президента Российской Федерации для поддержки молодых российских ученых — кандидатов наук и их руководителей (МК-5173.2006.3) и РФФИ (грант 05-03-32865).

## Литература

1. Philippova O.E., Andreeva A.S., Khokhlov A.R. et al. // Langmuir. 2003. **19**, No. 18. P. 7240.

2. Шинода К., Накагава Т., Тамамуси Б., Исемура Т. Коллоидные поверхностно-активные вещества. Физико-химические свойства. М., 1966.
3. Evans D.F., Wennerstrom H. The colloidal domain where physics, chemistry, biology, and technology meet. N. Y.: VCH Publ., 1994.
4. Leibler L. // Macromolecules. 1980. **13**, No. 6. P. 1602.
5. Ерухимович И.Я. // Высокомолек. соед. Сер. А. 1982. **24**, № 9. С. 1942.
6. Ерухимович И.Я., Хохлов А.Р. // Высокомолек. соед. Сер. А. 1993. **35**, № 11. С. 1808.
7. Андреева А.С., Фоменков А.И., Исламов А.Х. и др. // Высокомолек. соед. Сер. А. 2005. **47**, № 2. С. 338.
8. Куклин А.И., Бобарыкина Г.Н., Богдзель А.А. и др. // Препринт ОИЯИ. Раздел 13. № 249. Дубна, 2002. С. 12.
9. Кириллов А.С., Литвиненко Е.И., Астахова Н.В. и др. // Препринт ОИЯИ. Дубна. Раздел 13. № 66. 2003. С. 1.
10. Соловьев А.Г., Соловьева Т.М., Стадник А.В. и др. // Препринт ОИЯИ. Дубна. Раздел 10. № 86. 2003. С. 3.
11. Giyoong T., Kornfield J.A., Hubbe J.A., Jyotsana L. // Macromolecules. 2002. **35**, No. 11. P. 4448.
12. Hourdet D., L'Alloret F., Durand A. et al. // Macromolecules. 1998. **31**, No. 16. P. 5323.
13. Flynn C.E., Goodwin J.W. Polymers as rheology modifiers. N. Y., 1991. Ch. 11.
14. Petit-Agnely F., Iliopoulos I., Zana R. // Langmuir. 2000. **16**, No. 25, P. 9921.
15. Shashkina Yu.A., Zaroslov Yu.D., Smirnov V.A. et al. // Polymer. 2003. **44**, No. 8. P. 2289.
16. Шашкина Ю.А., Смирнов В.А., Филиппова О.Е. // Вестн. Моск. ун-та. Физ. Астрон. 2005. № 6. С. 42 (Moscow University Phys. Bull. 2005. No. 6. P. 53).
17. Almgren M., Grieser F., Thomas J.K. // J. Am. Chem. Soc. 1979. **101**, No. 2. P. 279.

Поступила в редакцию  
12.01.07